

ここに, $\tan \beta$ は海底勾配, L_0 は深海波長である。

のり勾配が $1/10$ のデルタ型リーフを想定し, 最も基本的な直入射の場合の人工リーフののり斜面上の碎波とリーフ頂角 θ の関係を調べる。のり斜面上や斜め入射の場合の碎波限界は明らかでないため, 一様勾配海浜での Le Méhauté and Koh (1967), 合田 (1973) の碎波指標を用いる。

$$H_b/L_0 = 0.76(\tan \beta)^{1/7}(H'_0/L_0)^{3/4} \quad \dots \dots \dots (3)$$

$$\frac{H_b}{L_0} = 0.17 \left[1 - \exp \left\{ -1.5 \frac{\pi h_b}{L_0} (1 + 15 \tan^{4/3} \beta) \right\} \right] \quad \dots \dots \dots (4)$$

また, 斜面上での波速 C_b を孤立波理論の

$$C_b = \sqrt{gh_b} \left\{ 1 + \frac{1}{2} \frac{H_b}{h_b} - \frac{3}{20} \left(\frac{H_b}{h_b} \right)^2 \right\} \quad \dots \dots \dots (5)$$

で与える。ここに, h_b は碎波水深, H'_0 は換算沖波波高である。碎波はほぼデルタ型リーフの側面に沿って進行するので, 斜め碎波の進行速度 V_s は

$$V_s = C_b / \sin \alpha_b = C_b / \cos(\theta/2) \quad \dots \dots \dots (6)$$

で表される。ここに, α_b は斜め碎波の進行方向と波峰線とのなす角で, $\alpha_b \approx \pi - \theta/2$ である。以上の関係を用いて, リーフ頂角別に初級者・中級者のサーファーに適する波浪条件を計算したものを図-3 に示す。周期を変化させて初級者, 中級者の境界の H_b と V_s を計算したものでそれぞれの境界値と碎波限界, 卷き波型碎波形式の限界を示す $\xi_b = 0.4$ の曲線に囲まれた領域がそれぞれの最適な波浪条件範囲である。頂角が大きくなると α_b が小さくなり, V_s が大きくなる。したがって頂角 60° のリーフは初・

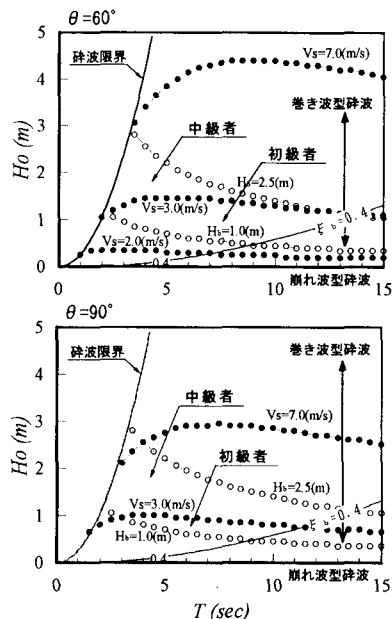


図-3 サーフィン能力別最適波浪条件

中級者の広い範囲のサーファーに適するが, 90° のリーフは上級者向きの施設となることがわかる。また頂角が狭くなるとリーフの延長が長くなることや碎波の立ち上がり帶が狭くなり, 同時にサーフィンできる範囲が狭くなるなど不利となる。したがってサーフィン共存型のリーフとしては頂角 60° 前後が適切であると思われる。

3. デルタ型リーフの模型実験

(1) 実験装置および実験方法

図-4 に実験に用いた平面水槽とデルタ型リーフの設置状況を示す。平面水槽はフラッター型造波装置を有する長さ 30 m, 幅 15 m, 深さ 0.6 m のコンクリート製である。リーフ模型は縮尺 1/30 で, 底辺が現地サイズで 90 m のものを想定している。水槽の片側に勾配 1/30 の一様勾配斜面を作成し, その上にリーフ模型を設置した。リーフの沖側ののり面勾配は $1/10$ で, 頂角は等深線が常に 60° となるように設計された。一様勾配斜面は碎石上に亜鉛メッキ鋼板を敷いたもので, 滑面となっている。またリーフ模型は天端水深は 0 cm (reef 1) と 5 cm (reef 2) の 2 種類とし, 周期は現地のうねり性波浪が 5~10 秒であることを考慮して実験周期を 1.3 秒とした。波形勾配を堀川・砂村 (1974) の海浜の安定条件から堆積型, 中間型, 侵食型の 3 種類 ($H_0/L_0 = 0.015, 0.025, 0.04$, ただし海底勾配 $1/30$, 砂粒径 0.3 mm の場合) を選定した。また比較対照のために水槽に何も設置しない一様勾配海浜 (normal) についても実験を行った。水平床部での水深は normal で 35 cm, reef 1 で 34.1 cm, reef 2 で 29.1 cm である。測定項目は碎波点付近の波高変化, peel velocity, 流況, 波の打ち上げ高である。

波高は容量式波高計を汀線に直角方向に設けた測線

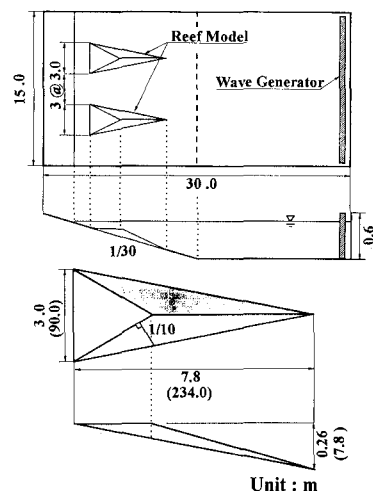


図-4 実験水槽とリーフ模型

(normalでは6本, reefでは13本)上を10cm間隔で24点移動させて碎波点前後の変化を測定した。

流況測定は、プラスチック製で穴あきの練習用ゴルフボールを50cmメッシュ間隔、計170点の位置で投入し、その移動状況を校舎の屋上からビデオ撮影することにより行った。通常、サーファーは表層の離岸流に乗って沖に出るのでサーフィンに適する海浜流を知る上で表層部が重要である。練習用ゴルフボールは頂部が表面にわずかに出る状態で浮くため、表層での流れを知るために非常に適している。

peel velocityの測定も流況測定と同様に、リーフ上で碎波の模様をビデオ映像を解析して求めた。

波の打ち上げ高は、汀線に直角方向の測線上にスチールテープを張り、50波程度の波の打ち上げの水平距離の平均を求めてこれを高さに換算した。

(2) 実験結果

a. リーフ上の碎波特性

デルタ型リーフ周辺での波の碎波の特性を知ることは、サーフィンにとってのみならず、リーフ設計上においても重要な要素である。図-5は測線ごとに得たreef周辺の碎波高の空間分布をリーフ位置と対比して示している。リーフ位置図の上に示す図は沖波波高で無次元化したもので、下方の図は各波形勾配ごとにnormalの実験で得た碎波高の平均値で無次元化したものである。この図によれば、天端水深に関わらず、リーフ頂部付近とリーフ間では碎波高の増大が顕著であり、リーフの脇では碎波高はかえって減少している。この現象は、リーフ頂部ではリーフに到達した波が屈折作用により集中し、波のエネルギーが増大したためである。これとは逆にリーフの脇では屈折作用により到達するはずの波の一部が頂部で収束し、碎波するため、波高が減少すると考えられる。またこうしたエネルギーのアンバランスの結果、リーフ頂部からリーフの脇に沿って岸向きの流れが発生し、波と流れの干渉効果によっても波高が減少することも碎波高変化の原因の1つになる。リーフ間における碎波高の増大は、リーフ間において発生する冲向きの離岸流が碎波高の増大をもたらしていると考えられる。波形勾配の影響に着目すると、波形勾配が小さくなるほどリーフ周辺の碎波高の場所的な違いが小さくなる傾向が見られる。

b. peel velocity

peel velocity V_s は、斜め碎波における碎波点の移動速度で、サーフボードの平均的な移動速度とほぼ等しい。

図-6はビデオ解析による V_s と計算値との比の波形勾配による変化を示している。計算は斜面勾配 $\tan \beta = 1/10$ の一様な海岸に入射角 $\alpha_0 = 60^\circ$ で入射した場合を想定し、式(3)~(6)から計算した。なお α_b は微小振幅波

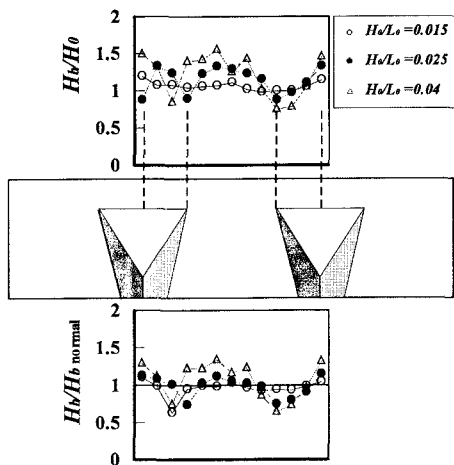


図-5 リーフ周辺の碎波高分布 (天端水深5cm)

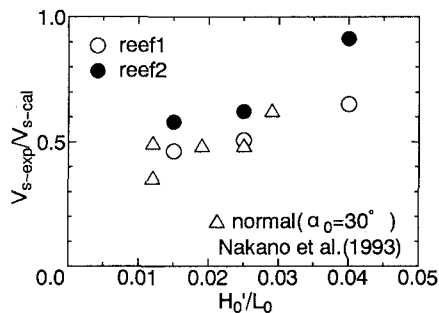


図-6 peel velocity

理論から $\sin^{-1}(\tanh kh_b \cdot \sin \alpha_0)$ として与えている。図には $1/10$ の一様勾配斜面に $\alpha_0 = 30^\circ$ で入射した場合の実験結果(著者ら, 1993)も併示した。これより波形勾配が小さいところでは実測の V_s は計算の半分程度と遅く、波形勾配が大きくなると計算値に近くなる。この違いは碎波限界公式の適用性がリーフ上では低いことに加え、微小振幅波理論を用いた屈折角の評価にも問題があり、重要な検討課題と言える。

c. リーフ周辺の流況

リーフ周辺の底質移動を考える上で底層の海浜流を把握することが特に重要である。一方、サーフィンを楽しむという観点からは表層の流れを把握することが重要となる。ここではサーフィンに対する適性を中心に考え、表層流を対象にして調べている。図-7は波形勾配 0.025 の場合の一様勾配斜面上と reef 2周辺の流況を比較したものである。これらの図からリーフの設置により離岸流がリーフ間の中央付近に固定され、流れも強くなることが確認される。この傾向は波形勾配が大きくなるとさらに強くなる。なお図中の実線は波高変化測定から得られた碎波線を示している。

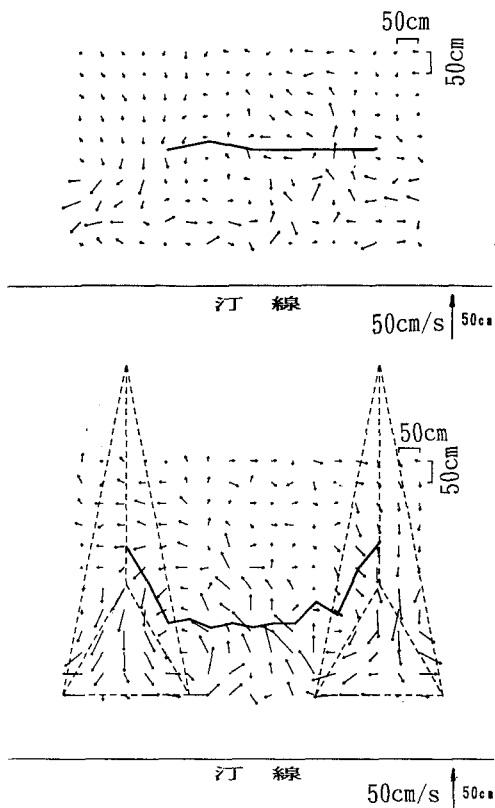


図-7 リーフ周辺の流況

d. 波の打ち上げ高

reef 2 (天端水深 5 cm) における波の打ち上げ高の場所的分布を図-8 に示す。これらの図の上側は相対打ち上げ高 R/H_0 を、また下側は一様勾配海浜に対する打ち上げ高との比 R/R_n を示している。波形勾配が小さいケースを除き、リーフのない場合に比べ波の打ち上げ高は小さくなる傾向がある。特にリーフ間の打ち上げ高の減少は顕著であり、荒天時の防災機能を有す構造であることがわかる。

4. 緩勾配方程式に基づく波浪変形計算

デルタ型リーフ周辺の波浪変形を Berkoff (1972) の提案した緩勾配方程式と等価な

$$\frac{\partial P^*}{\partial t} - CC_g \frac{\partial \zeta}{\partial x} = 0 \quad \dots \dots \dots (7)$$

$$\frac{\partial Q^*}{\partial t} - CC_g \frac{\partial \zeta}{\partial y} = 0 \quad \dots \dots \dots (8)$$

$$\left(\frac{iW}{\omega} + \frac{C_g}{C} \right) \frac{\partial \zeta}{\partial t} + \frac{\partial P^*}{\partial x} + \frac{\partial Q^*}{\partial y} = 0 \quad \dots \dots \dots (9)$$

を基に、これを Madsen and Larsen (1987) の方法で計算した。ここに、 C は波速、 C_g は群速度、 k は波数、 P^* 、

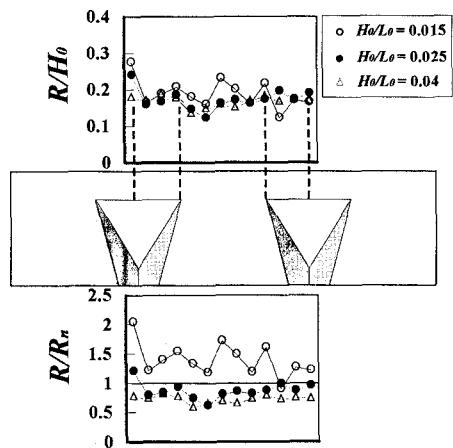


図-8 波の打ち上げ高

Q^* は複素線流量、 ζ は複素水位変動である。また、 $W = D/E$ 、 D ：波浪エネルギー逸散率、 E ：波浪エネルギーである。緩勾配方程式は海底勾配の変化が十分小さいことが前提となり、このリーフのようにリーフ上で波形が分裂するような領域では問題がある。しかし、本研究ではリーフの集波能力や波高分布特性を把握することが目的であり、そのためには十分である。実験でも明らかなようにリーフに沿った流れが発生し波流れ共存場となっているが、ここでは波のみの場として計算を進めた。計算は ADI 法を用い、造波境界と岸側境界にスponジレイヤーを設けた。碎波条件は孤立波について Yamada (1957) が導いた

$$(H/h)_b = 0.83 \dots \dots \dots (10)$$

を用い、碎波によるエネルギー逸散率 D は岩垣ら (1981) の次式を用いた。

$$D = \frac{B}{4\gamma_b^3} \frac{\log H^2 \sqrt{gZ}}{L} \left(\frac{H}{Z} \right)^4 \dots \dots \dots (11)$$

ここに、 Z は全水深 ($= h + \bar{\zeta}$)、 $\gamma_b = H_b/h_b$ で、 B は定数である。

reef 2 で波形勾配 0.015 の場合のリーフ周辺の波高分布について計算と実験とを比較して図-9 に示す。数値計算結果はリーフの頂部およびリーフ間において波高が増大し、リーフの側面で波高が減少するという測定結果とよく一致している。

次にリーフ周辺の代表的な測線である測線-1(頂部)、測線-7(側面)、測線-11(リーフ間)の岸沖方向の波高変化を実験と計算とで比較する(図-10)。測線-1 では計算波高がかなり大きいが、現実にはリーフの先端部周辺では流れの影響が大きく、計算では考慮できていないためであると考えられる。また、碎波後の波高の減少は計算結果の方が緩やかである。これは、計算で碎波後

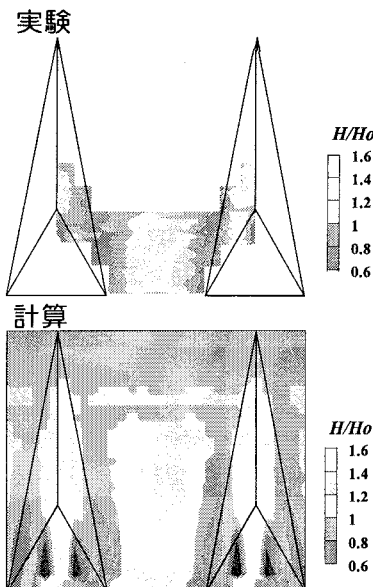


図-9 リーフ周辺の波高分布の比較

のエネルギーの流出や流れの影響の効果を考慮することができなかつたためであると考えられる。これに対し、他の測線では比較的よく一致している。

5. あとがき

静穏時はサーフィンに適する波を発生させ、荒天時には背後の海浜を守る海岸構造物として期待されるデルタ型リーフについて、模型実験と数値計算を通して検討した。広範囲の波浪条件でサーフィンが可能である頂角60度のリーフ模型周辺での碎波特性や流況、リーフ背後の打ち上げ高などを調べた。実験条件が限られているため、普遍的な特性の把握はできなかつたが、サーフィン利用に有用な離岸流が促進されることや荒天時には打ち上げ高の軽減効果が期待できることなど定性的な特徴が明らかになった。今後はリーフ設置間隔や海浜変形に及ぼす影響などを検討していく予定である。

参考文献

- 岩垣雄一・間瀬 肇・田中 剛 (1981): 不規則波の浅水変形モデルについて、第28回海岸工学講演論文集、pp. 104-108.
合田良実(1973): 不規則波の碎波指標について、第20回海講論文集、pp. 571-577.

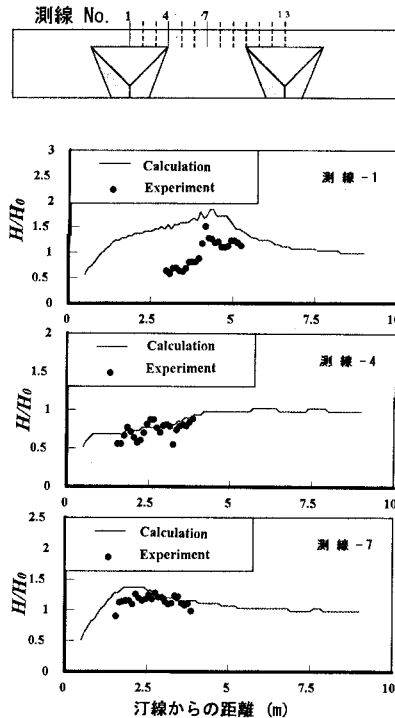


図-10 測線別の波高変化

- 中野 晋・吉田善昭・中野孝二・三井 宏 (1993): サーフィンに適するデルタ型リーフ周辺の流れと漂砂、海洋開発論文集、第9巻、pp. 229-234.
堀川清司・砂村継夫・近藤浩右 (1974): 波による2次元海浜変形に関する実験的研究、第22回海岸工学講演論文集、pp. 193-199.
吉田善昭 (1993): マリンリゾート共存型人工リーフによる波の変形とその防災機能、徳島大学修士論文。
Berkhoff, J. C. W. (1972): Computation of combined refraction-diffraction, Proc. 14th ICCE, pp. 471-490.
Le Méhauté, B. and Koh, R. C. Y. (1967): On the breaking of waves arriving at an angle to the shore, J. Hydr. Res., Vol. 5, No. 1, pp. 541-549.
Madsen, P. A. and Larsen, J. (1987): An efficient finite difference approach to the mild slope equation, Coastal Engineering, Vol. 11, pp. 329-351.
Walker, J. R., Palmer, P. Q. and Kauapea, J. K. (1972): Recreational surfing on Hawaiian reefs, Proc. 14th. ICCE, pp. 2609-2628.
Yamada, H. (1957): On the highest solitary wave, Rep. Res. Inst. Appl. Mech. Kyushu Univ., Vol. 5, pp. 53-67.